

室蘭工業大学 正員 能町純雄  
 室蘭工業大学 正員 松岡健一  
 苫小牧高専 正員 〇沢田知之

1. まえがき

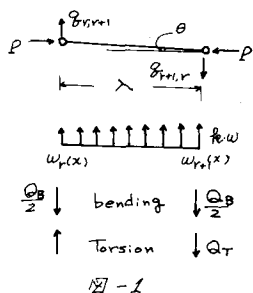
本稿は、矢板の側方座屈について考察したものであるが、矢板はスパン方向にヒンジ結合され、弾性床上にある場合を考え、各節点の鉛直力と水平力を各要素の鉛直方向変位と軸廻りの回転変位で表わし、節点ごとの力のつり合いを満足するように基本微分方程式を誘導する。これに、フーリエ定和分変換及びフーリエ変換を適用し、座屈荷重を求める。

2. 一般式

任意のニートパイプを取り出した図-1より次の基本微分方程式が導かれる。

$$EI \frac{\pi}{2} \frac{w_{r+1}(x) + w_r(x)}{2} = Q_B - \frac{w_{r+1}(x) + w_r(x)}{2} \times K \quad \text{--- ①}$$

$$GJ \frac{\ddot{w}_r(x) - \ddot{w}_r(x)}{\lambda} = -\lambda Q_T + \frac{K\lambda}{12} \{w_{r+1}(x) - w_r(x)\} + P \{w_{r+1}(x) - w_r(x)\} \quad \text{--- ②}$$



$EI$ : 曲げ剛性                       $GJ$ : ねじり剛性  
 $w_r(x)$ : 下向き                       $\lambda$ : ニートパイプ幅  
 $k$ : 地盤反力係数                       $K$ :  $\lambda \cdot k$

$\frac{Q_B}{2}$  ↓ bending    ↓  $\frac{Q_B}{2}$   
 ↑ Torsion    ↓  $Q_T$   
 図-1

また、 $Q_{r,r+1} = \frac{Q_B}{2} + Q_T$  --- ③                       $Q_{r+1,r} = -\frac{Q_B}{2} + Q_T$  --- ④ なる関係がある故、①②より  $Q_B, Q_T$  を③④に代入するとにより、 $Q_{r,r+1}$  及び  $Q_{r+1,r}$  を求め節点条件  $Q_{r,r+1} - Q_{r+1,r} = 0$  --- ⑤より次の⑥が導かれる。

$$\frac{EI}{4} \{ \ddot{w}_{r+1}(x) + 2\ddot{w}_r(x) + \ddot{w}_{r-1}(x) \} + \frac{K}{4} \{ w_{r+1}(x) + 2w_r(x) + w_{r-1}(x) \} + \frac{GJ}{\lambda^2} \{ \ddot{w}_{r+1}(x) - 2\ddot{w}_r(x) + \ddot{w}_{r-1}(x) \} - \frac{K}{12} \{ w_{r+1}(x) - 2w_r(x) + w_{r-1}(x) \} - \frac{P}{\lambda} \{ w_{r+1}(x) - 2w_r(x) + w_{r-1}(x) \} = 0 \quad \text{--- ⑥}$$

ここで、2次差分式  $\Delta^2 \ddot{w}_{r-1}(x) = \ddot{w}_{r+1}(x) - 2\ddot{w}_r(x) + \ddot{w}_{r-1}(x)$  とおくと⑥は次の如く示される。

$$\therefore \frac{EI}{4} \{ \Delta^2 \ddot{w}_{r-1}(x) + 4\ddot{w}_r(x) \} + \frac{GJ}{\lambda^2} \Delta^2 \ddot{w}_{r-1}(x) + \frac{K}{6} \Delta^2 w_{r-1}(x) + K w_r(x) - \frac{P}{\lambda} \Delta^2 w_{r-1}(x) = 0 \quad \text{--- ⑦}$$

よって⑦に Fourier-sine 定和分変換を施し、整理すると⑧の如く表わされる。

$$\therefore \frac{EI}{4} \left[ -S_i \{ (-1)^i \ddot{w}_n(x) - \ddot{w}_0(x) \} - D_i \cdot \ddot{w}_i(x) + 4\ddot{w}_i(x) \right] + \frac{GJ}{\lambda^2} \left[ -S_i \{ (-1)^i \ddot{w}_n(x) - \ddot{w}_0(x) \} - D_i \cdot \ddot{w}_i(x) \right] + \frac{K}{6} \left[ -S_i \{ (-1)^i w_n(x) - w_0(x) \} - D_i \cdot \bar{w}_i(x) + 6\bar{w}_i(x) \right] - \frac{P}{\lambda} \left[ -S_i \{ (-1)^i w_n(x) - w_0(x) \} - D_i \cdot \bar{w}_i(x) \right] = 0 \quad \text{--- ⑧}$$

ここで、 $\bar{w}_i(x) = \sum_{r=1}^{n-1} w_r(x) \sin \frac{i\pi}{n} r$                        $D_i = 2 \left( 1 - \cos \frac{i\pi}{n} \right)$   
 $S_i = \sin \frac{i\pi}{n}$

さらに⑧に fourier-sine 変換を行ない整理すると次の様に表示される。

$$\begin{aligned} & \left\{ \frac{EI}{4} D_i \left( \frac{\pi\pi}{l} \right)^4 - EI \left( \frac{\pi\pi}{l} \right)^4 - \frac{GJ}{\lambda^2} D_i \left( \frac{\pi\pi}{l} \right)^2 - \frac{K}{6} (6-D_i) + \frac{P}{\lambda} D_i \right\} \cdot \tilde{w}_i(x) = -\frac{EI}{4} (-1)^i S_i \left[ \left( \frac{\pi\pi}{l} \right) \left\{ \ddot{w}_n(l)(-1)^m - \ddot{w}_n(0) \right\} \right. \\ & + \left. \left( \frac{\pi\pi}{l} \right)^3 \left\{ w_n(l)(-1)^m - w_n(0) \right\} + \left( \frac{\pi\pi}{l} \right)^4 \tilde{w}_n(x) \right] + \frac{EI}{4} S_i \left[ -\left( \frac{\pi\pi}{l} \right) \left\{ \ddot{w}_n(l)(-1)^m - \ddot{w}_n(0) \right\} + \left( \frac{\pi\pi}{l} \right)^3 \left\{ w_n(l)(-1)^m - w_n(0) \right\} + \left( \frac{\pi\pi}{l} \right)^4 \tilde{w}_0(x) \right] \\ & - \frac{EI}{4} D_i \left[ -\left( \frac{\pi\pi}{l} \right) \left\{ \ddot{w}_i(l)(-1)^m - \ddot{w}_i(0) \right\} + \left( \frac{\pi\pi}{l} \right)^3 \left\{ \bar{w}_i(l)(-1)^m - \bar{w}_i(0) \right\} \right] + EI \left[ -\left( \frac{\pi\pi}{l} \right) \left\{ \ddot{w}_i(l)(-1)^m - \ddot{w}_i(0) \right\} + \left( \frac{\pi\pi}{l} \right)^3 \left\{ \bar{w}_i(l)(-1)^m \right. \right. \\ & \left. \left. - \bar{w}_i(0) \right\} \right] + \frac{GJ}{\lambda^2} (-1)^i S_i \left[ \left( \frac{\pi\pi}{l} \right) \left\{ w_n(l)(-1)^m - w_n(0) \right\} + \left( \frac{\pi\pi}{l} \right)^2 \tilde{w}_n(x) \right] + \frac{GJ}{\lambda^2} S_i \left[ -\left( \frac{\pi\pi}{l} \right) \left\{ w_0(l)(-1)^m - w_0(0) \right\} - \left( \frac{\pi\pi}{l} \right)^2 \tilde{w}_0(x) \right] \\ & - \frac{GJ}{\lambda^2} D_i \left[ -\left( \frac{\pi\pi}{l} \right) \left\{ \bar{w}_i(l)(-1)^m - \bar{w}_i(0) \right\} \right] - \frac{K}{6} S_i (-1)^i \tilde{w}_n(x) + \frac{K}{6} S_i \tilde{w}_0(x) - \frac{P}{\lambda} S_i (-1)^i \tilde{w}_n(x) + \frac{P}{\lambda} S_i \tilde{w}_0(x) \quad (9) \end{aligned}$$

次に、次式の如くの境界条件式⑩⑪⑫⑬が示される。

自由端では  $\ddot{w}(0) = 0$  — ⑩, 固定端では  $w(l) = 0$  — ⑪, 単純支持端は  $\ddot{w}_n = \ddot{w}_0 = 0$  — ⑫,  $w_n = w_0 = 0$  — ⑬  
今、スパン方向に相対する両端単純支持,  $x=0$  端自由,  $x=l$  端固定なる構造物と考えると, ⑨は ⑩⑪⑫⑬により整理され, fourier-sine 変換を施すことにより ⑭で表わし得る。

$$\bar{w}_i(x) = \left\{ Q(\xi) + \frac{1}{2d\beta} P(\xi) \right\} \cdot \bar{w}_i(0) + \frac{1}{2d\beta} P(1-\xi) \cdot \ddot{w}_i(l) \quad (14)$$

$$P(\xi) = \sum \frac{2}{\pi} \frac{2d\beta \cdot m}{(m^2 + d^2 - \beta^2)^2 + 4d^2\beta^2} \cdot \sin m\pi\xi = \frac{\sinh d\pi(2-\xi) \sin \beta\pi\xi - \sinh d\pi\xi \sin \beta\pi(2-\xi)}{\cosh 2d\pi - \cos 2\beta\pi}$$

$$Q(\xi) = \sum \frac{2}{\pi} \frac{m(m^2 + d^2 - \beta^2)}{(m^2 + d^2 - \beta^2)^2 + 4d^2\beta^2} \cdot \sin m\pi\xi = \frac{\cosh d\pi(2-\xi) \cdot \cos \beta\pi\xi - \cosh d\pi\xi \cdot \cos \beta\pi(2-\xi)}{\cosh 2d\pi - \cos 2\beta\pi}$$

$$\therefore d = \frac{\sqrt{A+2C}}{2} \quad \beta = \frac{\sqrt{2C-A}}{2} \quad C = \sqrt{B}$$

$$A = \frac{GJ}{EI} \frac{4D_i}{(4-D_i)} \left( \frac{l}{\pi\lambda} \right)^2 \quad B = \left\{ \frac{K \cdot (6-D_i)}{6} - \frac{P D_i}{\lambda} \right\} \left\{ \frac{4}{EI} \frac{1}{(4-D_i)} \left( \frac{l}{\pi} \right)^2 \right\}$$

よって,  $x=0$  端での剪断力のつり合いより,

$$\therefore \frac{EI}{4} (4-D_i) \left[ \left\{ \ddot{Q}(0) + \frac{1}{2d\beta} \ddot{P}(0) \right\} \cdot \bar{w}_i(0) + \frac{1}{2d\beta} \ddot{P}(1) \cdot \ddot{w}_i(l) \right] - \frac{GJ}{\lambda^2} D_i \left[ \left\{ \ddot{Q}(0) + \frac{1}{2d\beta} \ddot{P}(0) \right\} \cdot \bar{w}_i(0) + \frac{1}{2d\beta} \ddot{P}(1) \cdot \ddot{w}_i(l) \right] = 0 \quad (15)$$

$$\text{又, } x=l \text{ 端でのたわみ角がゼロとより } \left\{ \ddot{Q}(1) + \frac{1}{2d\beta} \ddot{P}(1) \right\} \cdot \bar{w}_i(0) + \frac{1}{2d\beta} \ddot{P}(0) \cdot \ddot{w}_i(l) = 0 \quad (16)$$

故に, ⑮⑯より  $P$  なる座屈荷重が求まり, 境界値  $\bar{w}_i(0)$ ,  $\ddot{w}_i(l)$  を決定し, ⑭式に示す如くの fourier-sine 変換と分変換によりたわみ (モード) を求めることができる。

$$\therefore w_i(x) = \frac{2}{\pi} \sum_{r=1}^{R-1} \bar{w}_i(x) \cdot \sin \frac{r\pi}{l} x \quad (17)$$

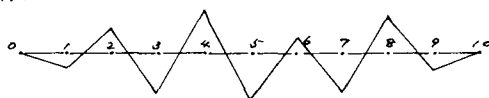
### 3. 数値計算例

$$n=10 \quad l=100 \text{ cm} \quad \lambda=10 \text{ cm} \quad E=2.1 \times 10^6 \text{ kg/cm}^2 \quad G=8.0 \times 10^5 \text{ kg/cm}^2$$

$x=0, l$  端, Simple Support

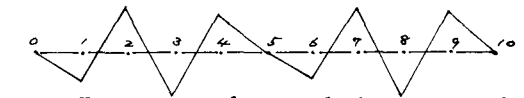
( $n=1$  次モード)

$$P=140.66 \text{ kg/cm}$$



( $n=2$  次モード)

$$P=143.01 \text{ kg/cm}$$



※参考文献

24. Nomachi: A Note on Finite Fourier Transforms Concerning Finite Integration.

Memoris, Muroran, I.T. vol.5, No.2